

ЧИСЛЕННОЕ МОДЕЛИРОВАНИЕ ПОВРЕЖДАЕМОСТИ СИЛОВОЙ СИСТЕМЫ

асп. **Мармыш Д.Е.**

Белорусский государственный университет, Минск

Аналитические решения для распределённой по прямоугольнику нагрузки. Задача о сосредоточенной силе, приложенной в точке упругого изотропного пространства известна как задача Кельвина [1]. Аналитические решения, позволяющие описать напряжённо-деформированное состояние пространства от действия сосредоточенной силы, приведены в работах [1, 2].

Введём в пространстве систему координат $Ox_1x_2x_3$. Рассмотрим прямоугольную область $D = \{(x_1, x_2): x_1 \in [a_1; a_2], x_2 \in [b_1; b_2]\}$ расположенную в плоскости Ox_1x_2 . Пусть по площадке D распределены равномерные усилия интенсивности p_0 , направленной вдоль оси Ox_3 . Интегрирование фундаментальных решений задачи Кельвина приводит к следующим интегралам для функций влияния для перемещений и напряжений

$$\begin{aligned} u_i^{(K,3)} &= \iint_D G_i^{(K,u,3)}(x_1 - \xi, x_2 - \eta, x_3) d\xi d\eta, \quad i = 1, 2, 3, \\ \sigma_{i,j}^{(K,3)} &= \iint_D G_{i,j}^{(K,\sigma,3)}(x_1 - \xi, x_2 - \eta, x_3) d\xi d\eta, \quad i, j = 1, 2, 3. \end{aligned} \quad (1)$$

Проинтегрировав выражения (1) по площадке D , получим следующие выражения, записанные в компактной форме

– для компонент вектора перемещений

$$\begin{aligned} u_1^{(3)} &= Ax_3 \ln \left[\frac{(x_2 - b_1 - R_{11})(x_2 - b_2 - R_{22})}{(x_2 - b_1 - R_{21})(x_2 - b_2 - R_{12})} \right], \\ u_2^{(3)} &= Ax_3 \ln \left[\frac{(x_1 - a_1 - R_{11})(x_1 - a_2 - R_{22})}{(x_1 - a_2 - R_{21})(x_1 - a_1 - R_{12})} \right], \\ u_3^{(3)} &= \frac{i}{2} \left(Ax_3 + \frac{B}{x_3} \right) \sum_{k,l=1}^2 \ln \frac{B'_j \{ x_3 B'_l + (-1)^{k+l} (a_k - x_1) \} \left[(-1)^{k+l} a_k + (-1)^k x_1 + R_{kl} \right]}{B''_j \{ x_3 B''_l + (-1)^{k+l} (a_k - x_1) \} \left[(-1)^{k+l} a_k + (-1)^k x_1 + R_{kl} \right]}, \end{aligned} \quad (2)$$

– для компонент тензора напряжений

$$\begin{aligned} \sigma_{11}^{(3)} &= 2A\mu \cdot x_3 \sum_{k,l=1}^2 (-1)^{k+l} \left\{ \frac{(a_k - x_1)(b_l - x_2)}{\left[(a_k - x_1)^2 + x_3^2 \right] R_{kl}} - \frac{\lambda}{(\lambda + \mu)x_3} \operatorname{arctg} \frac{(a_k - x_1)(b_l - x_2)}{x_3 R_{kl}} \right\}, \\ \sigma_{22}^{(3)} &= 2A\mu \cdot x_3 \sum_{k,l=1}^2 (-1)^{k+l} \left\{ \frac{(a_k - x_1)(b_l - x_2)}{\left[(b_l - x_2)^2 + x_3^2 \right] R_{kl}} - \frac{\lambda}{(\lambda + \mu)x_3} \operatorname{arctg} \frac{(a_k - x_1)(b_l - x_2)}{x_3 R_{kl}} \right\}, \\ \sigma_{12}^{(3)} &= -2A\mu \cdot x_3 \sum_{k,l=1}^2 \frac{(-1)^{k+l}}{R_{kl}}, \\ \sigma_{13}^{(3)} &= -\frac{2A\mu}{\lambda + \mu} \sum_{k,l=1}^2 (-1)^{k+l} \left\{ \frac{(\lambda + \mu)(b_l - x_2)x_3^2}{\left[(a_k - x_1)^2 + x_3^2 \right] R_{kl}} - \mu \ln(x_2 - b_l + R_{kl}) \right\}, \\ \sigma_{23}^{(3)} &= -2A\mu \sum_{k,l=1}^2 (-1)^{k+l} \left\{ \frac{(a_k - x_1)x_3^2}{\left[(b_l - x_2)^2 + x_3^2 \right] R_{kl}} + \frac{\mu}{\lambda + \mu} \operatorname{arctg} \frac{a_k - x_1}{R_{kl}} \right\}, \end{aligned} \quad (3)$$

$$\sigma_{33}^{(3)} = -2A\mu \cdot x_3 \sum_{k,l=1}^2 (-1)^{k+l} \left\{ \frac{(a_k - x_1)(b_l - x_2)(R_{kl}^2 + x_3^2)}{\left[(a_k - x_1)^2 + x_3^2 \right] \left[(b_l - x_2)^2 + x_3^2 \right] R_{kl}} + \frac{\lambda + 2\mu}{(\lambda + \mu)x_3} \operatorname{arctg} \frac{(a_k - x_1)(b_l - x_2)}{x_3 R_{kl}} \right\},$$

где $A = \frac{\lambda + \mu}{8\pi\mu(\lambda + 2\mu)}$, $B = \frac{\lambda + 3\mu}{\lambda + \mu}$, λ, μ – постоянные Ляме для изотропной упругой среды, i – мнимая единица $R_{kl}^2 = (x_1 - a_k)^2 + (x_2 - b_l)^2 + x_3^2$, $B_l' = (-1)^l b_l + (-1)^{l+1} x_2 + x_3$, $B_l'' = (-1)^{l+1} b_l + (-1)^l x_2 + x_3$, $k, l = 1, 2$.

Из рисунка 1 видно, что приведённые выше выражения для напряжений удовлетворяют граничным условиям при приложении равномерно распределённой нагрузки по прямоугольной площадке в пространстве.

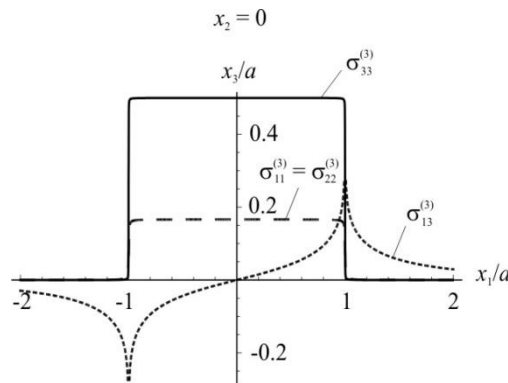


Рис. 1. Распределение вдоль осей x_1 и x_3 некоторых компонент тензора напряжений, отнесенных к величине усилий p_0

Гранично-элементное моделирование напряжённого состояния. При гранично-элементном моделировании напряжённого состояния полупространства под действием произвольно распределённой нагрузки с использованием фундаментальных решений Буссинески и/или Черрути достаточно просуммировать напряжения вызванные действием нагрузки по каждому граничному элементу лежащему в области действия нагрузки [3]. При решении задачи с использованием фундаментальных решений Кельвина необходимо предварительное определение фиктивных усилий для граничных элементов в области действия нагрузки и в некоторой её окрестности.

Рассмотрим некоторую область D в плоскости Ox_1x_2 с произвольно распределённой по ней нагрузкой $p(x_1, x_2)$. Обозначим через \hat{D} окрестность области D . Построим в областях D и \hat{D} равномерную прямоугольную гранично-элементную сетку с количеством элементов N_1, N_2 и шагами сетки h_1, h_2 соответственно вдоль осей Ox_1 и Ox_2 . Введём также следующие обозначения: p_{ij}^f – фиктивная нагрузка, действующая по граничному элементу с центром в точке (ih_1, jh_2) ($i = 0, 1, \dots, N_1; j = 0, 1, \dots, N_2$); $p_{ij}^r = p(ih_1, jh_2)$. Задача определения фиктивных усилий сводится к следующей системе $N_1 \times N_2$ линейных уравнений

$$p_{ij}^{r,\alpha} = \sum_{k=0}^{N_1} \sum_{l=0}^{N_2} \left[\sum_{\beta=1}^3 p_{ij}^{f,\beta} \sigma_{\alpha\beta}^{(3)}(kh_1, lh_2, 0) \right], \quad (\alpha = 1, 2, 3) \quad (4)$$

где $p_{ij}^{r,\alpha}, p_{ij}^{f,\beta}$ – проекции нагрузок p_{ij}^r и p_{ij}^f на ось Ox_α .

Решая систему уравнений (4) относительно $p_{ij}^{f,B}$ можно найти фиктивные граничные условия для каждого граничного элемента. Далее взяв их в качестве действующих усилий можно найти напряжённое состояние в любой точке полупространства.

В работе [4] рассмотрена задача определения напряжённо-деформированного состояния и состояния повреждаемости в силовой системе ролик/вал используемой при испытаниях материалов на контактно-механическую усталость. В ней, в частности, определены параметры контактного пятна между роликом и валом, а также величина максимального давления в центре площадки контакта. Проведём гранично-элементное моделирование аналогичной задачи с использованием аналитических решений (3).

При давлении тела вращения на упругую изотропную полуплоскость контактное давление распределено по эллиптическому закону [5]

$$p(x_1, x_2) = p_0 \sqrt{1 - \frac{x_1^2}{a^2} - \frac{x_2^2}{b^2}}, \quad (5)$$

где a, b – величины полуосей эллиптической площадки контакта, p_0 – давление в центре площадки.

Из работы [4] известно, что для реальной испытательной системы ролик/вал $a = 0,25$ мм, $b = 0,25$ мм, $p_0 = 3727$ МПа. Область \hat{D} была взята за прямоугольник с размерами $6a \times 6b$, шаги гранично-элементной сетки были приняты равными $h_1 = \frac{a}{5}$, $h_2 = \frac{b}{5}$. Таким образом, была получена гранично-элементная сетка состоящая из $30 \times 30 = 900$ элементов. Фиктивные граничные условия для каждого граничного элемента определялись согласно системе уравнений (4).

На рисунке 1 представлен пространственный график фиктивных граничных условий p_{ij}^f действующих на площадке \hat{D} . На рисунке 2 показана аппроксимация непрерывного распределения $p(x_1, x_2)$ дискретным распределением на граничных элементах в разрезе вдоль оси Ox_2 .

На рисунках 3 и 4 показаны графики распределения напряжения $\sigma_{33}^{(3)}$ вдоль осей Ox_1 и Ox_3 соответственно, полученные при гранично-элементном моделировании (точечный график) в сравнении с аналитическим решением для полупространства (сплошная линия) [5].

Анализ повреждаемости системы. Введём механический параметр ϕ как локальную характеристику повреждаемости среды Ω в точке A и определим его как отношение абсолютного значения действующих напряжений σ в точке A к некоторому предельному напряжению $\sigma^{(*\text{lim})}$ установленного для данного материала, т.е.

$$\phi = \frac{|\sigma|}{\sigma^{(*\text{lim})}}. \quad (6)$$

Выделим элементарный параллелепипед со сторонами dx, dy, dz с центром в точке A . Элементарный опасный объём соответствующий точке A определим как функцию параметра ϕ , определяемого формулой (6)

$$dV = \begin{cases} dx dy dz, & \phi \geq 1 \\ 0, & \phi < 1. \end{cases} \quad (7)$$

Интегрирование выражения (7) по всему телу Ω определит величину опасного объёма, т.е.

$$V = \int_{\Omega} dV. \quad (8)$$

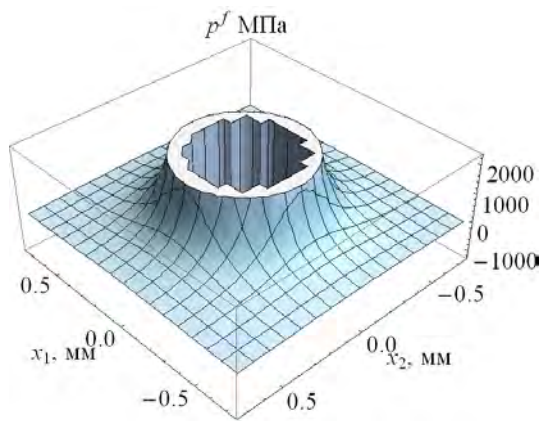


Рис. 1. Фиктивные граничные условия p_{ij}^f на площадке \hat{D}

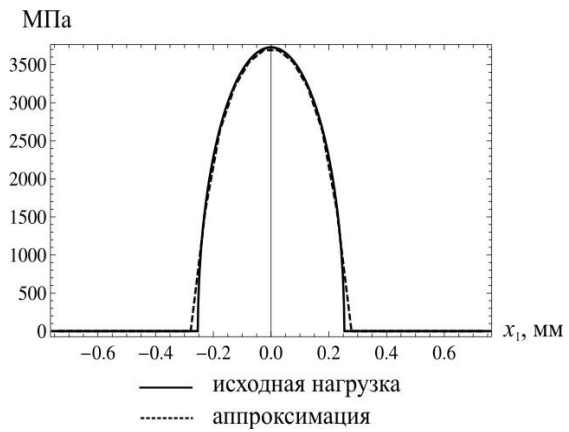


Рис. 2. Аппроксимация непрерывного распределения граничной нагрузки

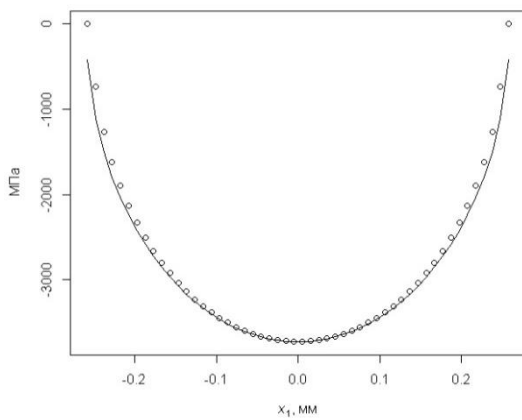


Рис. 3. Распределение напряжения $\sigma_{33}^{(3)}$ вдоль оси Ox_1

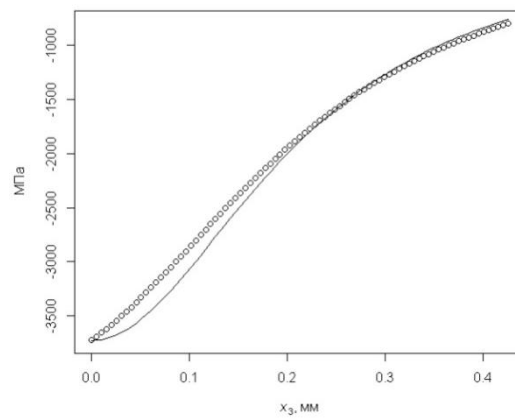


Рис. 4. Распределение напряжения $\sigma_{33}^{(3)}$ вдоль оси Ox_3

Для исследуемой системы ролик/вал предельное напряжение $\sigma^{(*\text{lim})}$ бралась как предел контактной усталости $\sigma_{\text{int}}^{(*\text{lim})} = F_{*\text{lim}} = 888$ МПа. В качестве действующих напряжений σ бралась эквивалентные напряжения (по Мизесу). На рисунке 5 представлены графики распределения эквивалентных напряжений вдоль оси Ox_3 полученные путём гранично-элементного моделирования (точечный график) и моделирования контактной задачи ролик/вал методом конечных элементов.

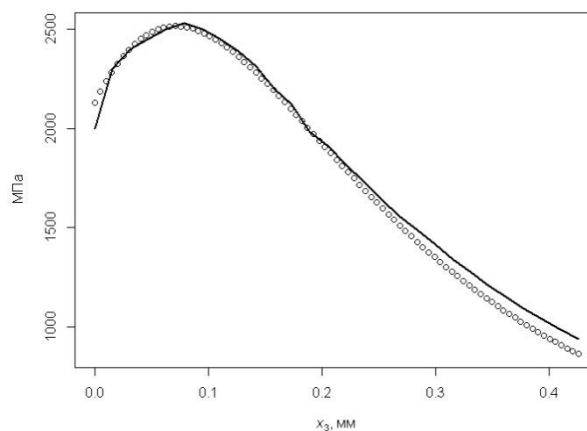


Рис. 5. Распределение эквивалентных напряжений (по Мизесу) вдоль оси Ox_3

Определение всех компонент тензора напряжений для полупространства при гранично-элементном моделировании производился в узловых точках по слоям перпенди-

кулярным оси Ox_3 . Расчёт напряжённого состояния заканчивался на слое, в любом узле которого действующее эквивалентное напряжение не превышало предельное напряжение $\sigma^{(*\text{lim})}$. Если в расчетном узле действующее напряжение превышало предельное, то определялась величина элементарного опасного объёма соответствующего данному узлу по формуле (7) и элементарная повреждаемость по формуле (6) выделенного объёма. Интегральные показатели, характеризующие повреждаемость силовой системы рассчитанные методом граничных элементов и методом конечных элементов для силовой системы ролик/вал представлены в таблице 1.

Таблица 1 – Интегральные показатели повреждаемости

Метод	Опасный объём (мм ³)	Повреждаемость (мм ³)
Граничных элементов	0,2771	0,4511
Конечных элементов	0,2898	0,4453

ЛИТЕРАТУРА

1. Журавков, М. А. *Фундаментальные решения теории упругости и некоторые их применения в геомеханике, механике грунтов и оснований: курс лекций* / М. А. Журавков – Минск: БГУ, 2008. – 247 с.
2. Работнов, Ю. Н. *Механика деформируемого твердого тела: учеб. пособие для вузов* / Ю. Н. Работнов. – М.: Наука, 1988. – 712 с.
3. Davis, R. O. *Elasticity and geomechanics* / R.O. Davis, A.P.S. Selvadurai. Cambridge University Press, 1996. – 201 p.
4. Мармыш, Д.Е. *Пространственное напряженно-деформированное состояние и объемная повреждаемость системы «ролик-вал»* / Д.Е. Мармыш // *Актуальные вопросы машиноведения. Сб. науч. тр. – Вып. 4. – Минск: ОИМ. – 2015. – С. 248–251.*
5. Макушин, В. М. *Упругие перемещения и напряженное состояние деталей в местах контакта деталей* / В. М. Макушин // *Расчеты на прочность в машиностроении; под ред. С. Д. Пономарева. – М.: 1958. – Т. 2. – С. 387–486.*

E-mail: marmyshdenis@mail.ru

Поступила в редакцию 13.09.2016